

Starkniederschlagshöhen und -spenden gemäß KOSTRA-DWD-2010R

Auswertungszeitraum von 1951 - 2010, Januar - Dezember

Rasterfeld: 33042

Zeile: 33

Spalte: 42

Seite: 1/2

| Dauerstufe D | | Wiederkehrzeit T | | | | | | | | | | | | | | | | | |
|--------------|-----|------------------|------------|------|------------|------|------------|------|------------|------|------------|------|------------|------|------------|------|------------|-------|------------|
| | | 1 a | | 2 a | | 3 a | | 5 a | | 10 a | | 20 a | | 30 a | | 50 a | | 100 a | |
| min | Std | mm | l / (s ha) | mm | l / (s ha) | mm | l / (s ha) | mm | l / (s ha) | mm | l / (s ha) | mm | l / (s ha) | mm | l / (s ha) | mm | l / (s ha) | mm | l / (s ha) |
| 5 | | 5,1 | 170,0 | 6,4 | 213,3 | 7,1 | 236,7 | 8,1 | 270,0 | 9,3 | 310,0 | 10,6 | 353,3 | 11,3 | 376,7 | 12,3 | 410,0 | 13,5 | 450,0 |
| 10 | | 7,9 | 131,7 | 9,8 | 163,3 | 10,8 | 180,0 | 12,2 | 203,3 | 14,0 | 233,3 | 15,9 | 265,0 | 16,9 | 281,7 | 18,3 | 305,0 | 20,1 | 335,0 |
| 15 | | 9,7 | 107,8 | 12,0 | 133,3 | 13,3 | 147,8 | 15,0 | 166,7 | 17,3 | 192,2 | 19,6 | 217,8 | 20,9 | 232,2 | 22,6 | 251,1 | 24,9 | 276,7 |
| 20 | | 10,9 | 90,8 | 13,6 | 113,3 | 15,2 | 126,7 | 17,1 | 142,5 | 19,8 | 165,0 | 22,5 | 187,5 | 24,0 | 200,0 | 26,0 | 216,7 | 28,7 | 239,2 |
| 30 | | 12,5 | 69,4 | 15,8 | 87,8 | 17,8 | 98,9 | 20,2 | 112,2 | 23,5 | 130,6 | 26,9 | 149,4 | 28,8 | 160,0 | 31,3 | 173,9 | 34,6 | 192,2 |
| 45 | | 13,8 | 51,1 | 18,0 | 66,7 | 20,4 | 75,6 | 23,4 | 86,7 | 27,6 | 102,2 | 31,7 | 117,4 | 34,1 | 126,3 | 37,2 | 137,8 | 41,3 | 153,0 |
| 60 | | 14,6 | 40,6 | 19,4 | 53,9 | 22,3 | 61,9 | 25,8 | 71,7 | 30,6 | 85,0 | 35,5 | 98,6 | 38,3 | 106,4 | 41,9 | 116,4 | 46,7 | 129,7 |
| 90 | | 16,1 | 29,8 | 21,2 | 39,3 | 24,1 | 44,6 | 27,9 | 51,7 | 32,9 | 60,9 | 38,0 | 70,4 | 41,0 | 75,9 | 44,7 | 82,8 | 49,7 | 92,0 |
| 120 | 2 | 17,3 | 24,0 | 22,5 | 31,3 | 25,6 | 35,6 | 29,4 | 40,8 | 34,7 | 48,2 | 39,9 | 55,4 | 43,0 | 59,7 | 46,8 | 65,0 | 52,0 | 72,2 |
| 180 | 3 | 19,1 | 17,7 | 24,6 | 22,8 | 27,8 | 25,7 | 31,8 | 29,4 | 37,3 | 34,5 | 42,8 | 39,6 | 46,0 | 42,6 | 50,0 | 46,3 | 55,5 | 51,4 |
| 240 | 4 | 20,5 | 14,2 | 26,1 | 18,1 | 29,5 | 20,5 | 33,6 | 23,3 | 39,3 | 27,3 | 45,0 | 31,3 | 48,3 | 33,5 | 52,4 | 36,4 | 58,1 | 40,3 |
| 360 | 6 | 22,6 | 10,5 | 28,5 | 13,2 | 32,0 | 14,8 | 36,4 | 16,9 | 42,3 | 19,6 | 48,2 | 22,3 | 51,7 | 23,9 | 56,1 | 26,0 | 62,0 | 28,7 |
| 540 | 9 | 25,0 | 7,7 | 31,2 | 9,6 | 34,8 | 10,7 | 39,4 | 12,2 | 45,6 | 14,1 | 51,8 | 16,0 | 55,4 | 17,1 | 60,0 | 18,5 | 66,2 | 20,4 |
| 720 | 12 | 26,8 | 6,2 | 33,2 | 7,7 | 36,9 | 8,5 | 41,7 | 9,7 | 48,1 | 11,1 | 54,5 | 12,6 | 58,3 | 13,5 | 63,0 | 14,6 | 69,4 | 16,1 |
| 1080 | 18 | 29,6 | 4,6 | 36,3 | 5,6 | 40,2 | 6,2 | 45,2 | 7,0 | 51,9 | 8,0 | 58,6 | 9,0 | 62,6 | 9,7 | 67,5 | 10,4 | 74,3 | 11,5 |
| 1440 | 24 | 31,7 | 3,7 | 38,7 | 4,5 | 42,7 | 4,9 | 47,8 | 5,5 | 54,8 | 6,3 | 61,8 | 7,2 | 65,8 | 7,6 | 70,9 | 8,2 | 77,9 | 9,0 |
| 2880 | 48 | 38,5 | 2,2 | 46,5 | 2,7 | 51,1 | 3,0 | 57,0 | 3,3 | 64,9 | 3,8 | 72,9 | 4,2 | 77,5 | 4,5 | 83,4 | 4,8 | 91,3 | 5,3 |
| 4320 | 72 | 43,2 | 1,7 | 51,7 | 2,0 | 56,7 | 2,2 | 63,0 | 2,4 | 71,5 | 2,8 | 80,0 | 3,1 | 85,0 | 3,3 | 91,3 | 3,5 | 99,8 | 3,9 |

Angaben in mm: Bemessungsniederschlagswerte h(n)

Angaben in l / (s ha): Regenspende R(n) mit $R(n) = h(n) \times 1,666667 / D[\text{min}]$

Toleranzbereiche:

+/- 10 % für $1 \text{ a} \leq T \leq 5 \text{ a}$

+/- 15 % für $5 \text{ a} < T \leq 50 \text{ a}$

+/- 20 % für $50 \text{ a} < T \leq 100 \text{ a}$

Datenbasis: KOSTRA-DWD-2010R des Deutschen Wetterdienstes. Die Regenspende wurde auf Basis des Bemessungsniederschlags zur jeweiligen Andauer berechnet.

Für die Richtigkeit und Aktualität der Angaben wird keine Gewähr übernommen. Erstellt 07/2022.

Starkniederschlagshöhen und -spenden gemäß KOSTRA-DWD-2010R

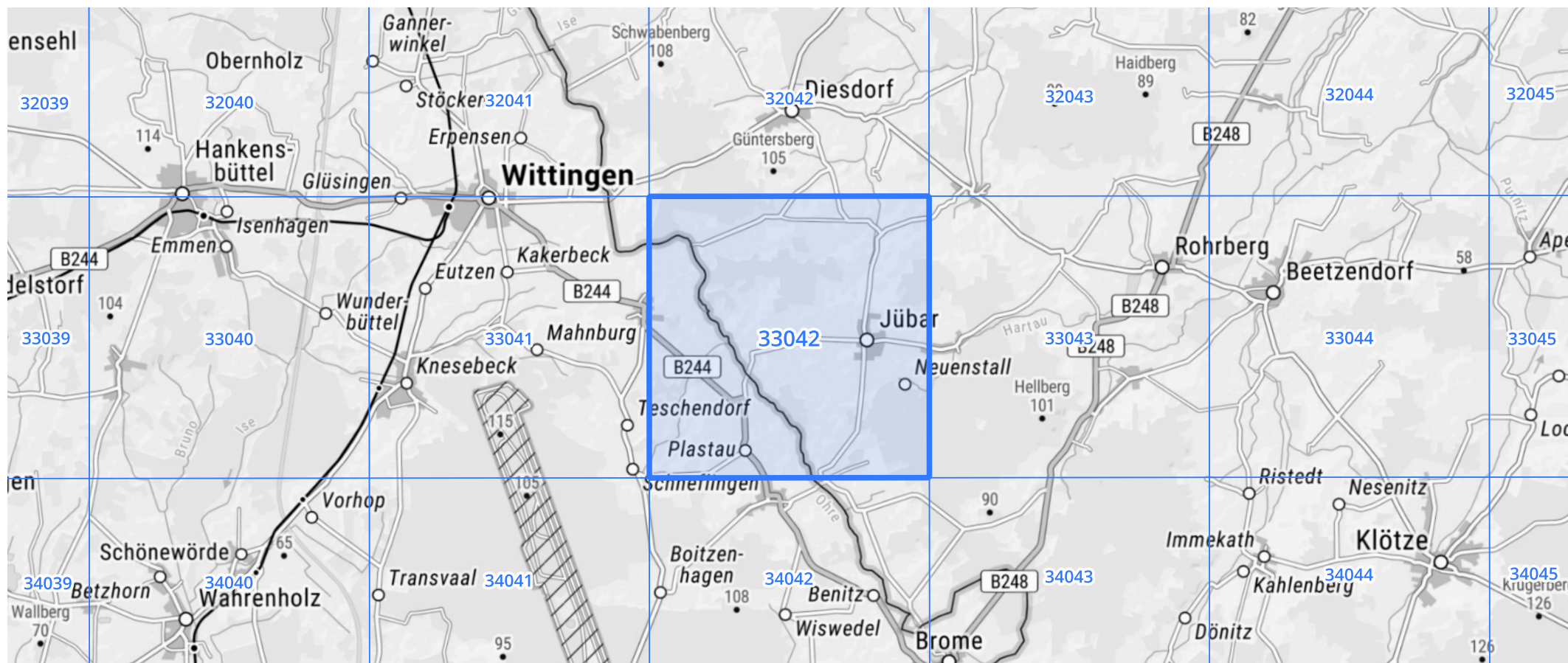
Auswertungszeitraum von 1951 - 2010, Januar - Dezember

Rasterfeld: 33042

Zeile: 33

Spalte: 42

Seite: 2/2



Quelle Rasterdaten: KOSTRA-DWD-2010R des Deutschen Wetterdienstes.

Kartendarstellung: © Bundesamt für Kartographie und Geodäsie (2022), Datenquellen: https://sgx.geodatenzentrum.de/web_public/gdz/datenquellen/Datenquellen_TopPlusOpen.html

Für die Richtigkeit und Aktualität der Angaben wird keine Gewähr übernommen. Erstellt 07/2022.